

<必ずお読みください>

- **本ファイルのデータの利用等についての注意事項**

- 本ファイルを基に加工・作成を行った資料等について、科学技術・学術政策研究所は一切責任を持ちません。

- **本ファイルの出典の記述方法**

- 本ファイルのデータをそのまま活用する場合は下記のように表示してください。

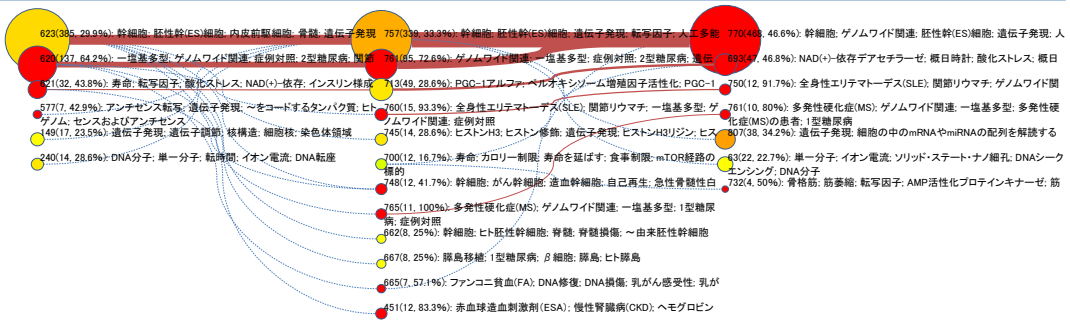
(出典)文部科学省 科学技術・学術政策研究所、サイエンスマップ 2010 & 2012、
NISTEP REPORT No.159、2014 年 7 月

- 本ファイルのデータを加工して活用する場合

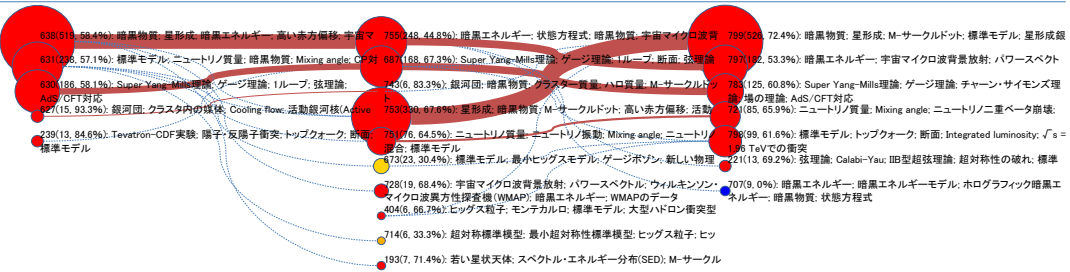
本ファイルに掲載しているデータを独自に加工し資料に用いる場合は、下記のように表示をしてください。

(出典)文部科学省 科学技術・学術政策研究所、サイエンスマップ 2010 & 2012、
NISTEP REPORT No.159、2014 年 7 月を基に、○○○が加工・作成。

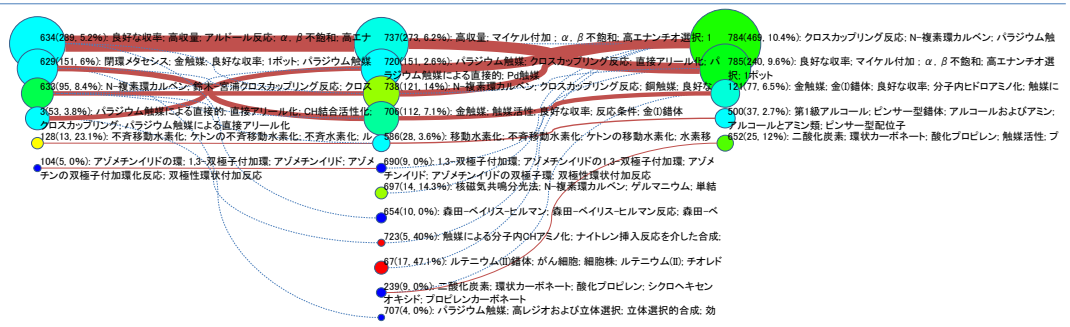
Stream:5



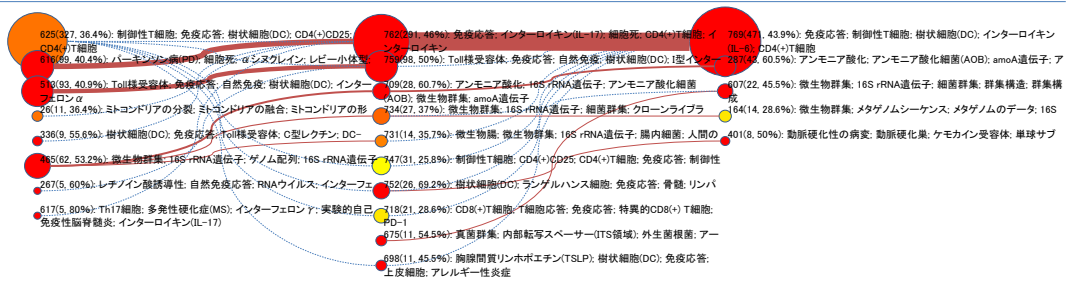
Stream:6



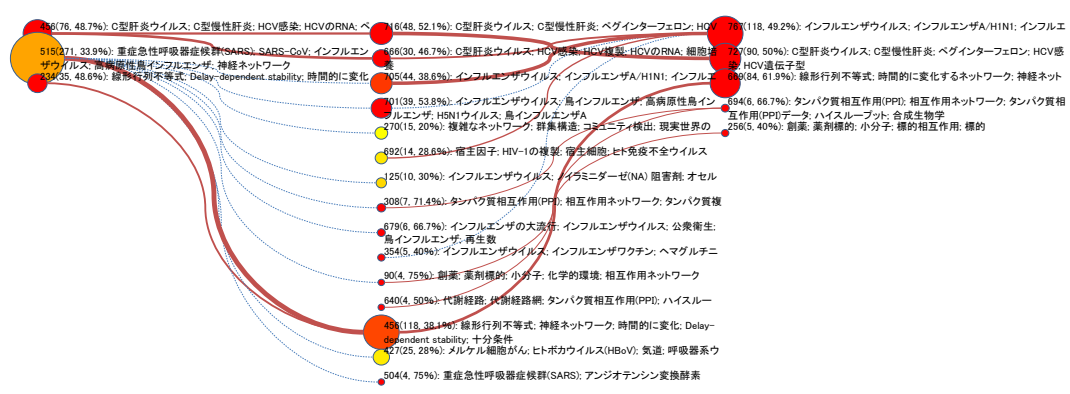
Stream:7



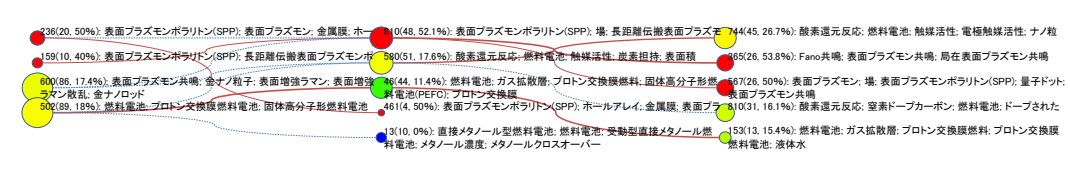
Stream:8

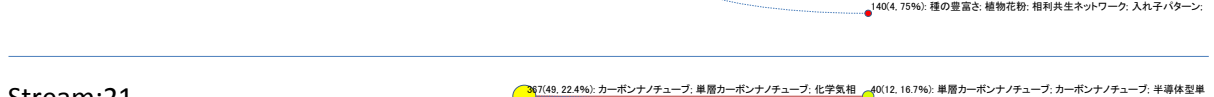
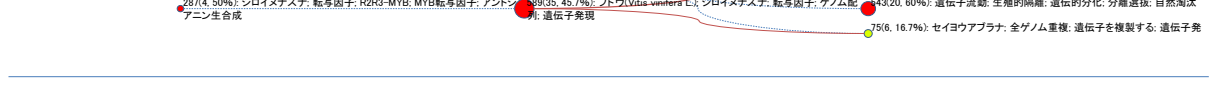
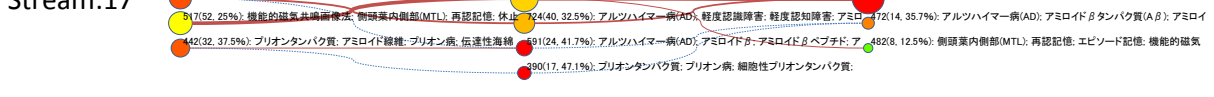
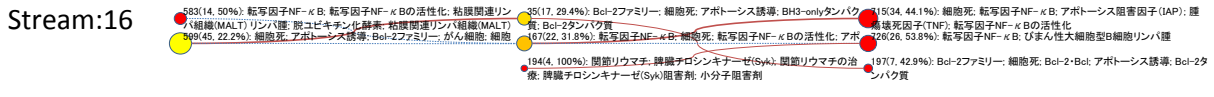
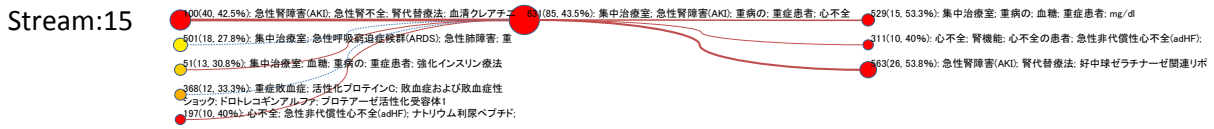
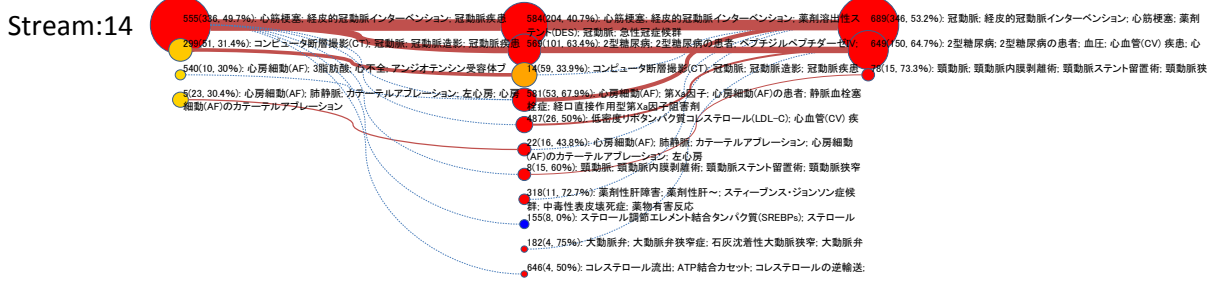
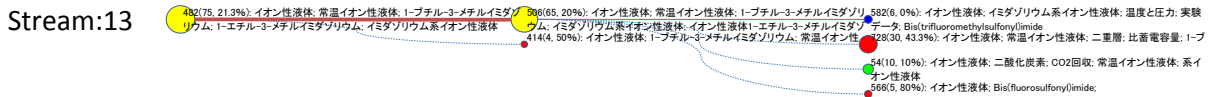
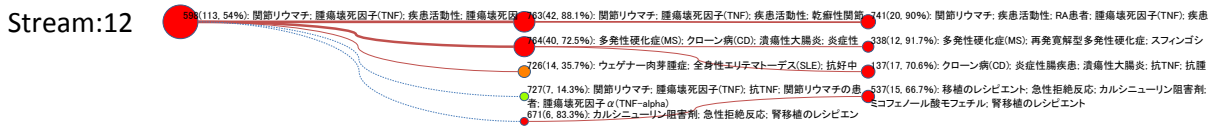
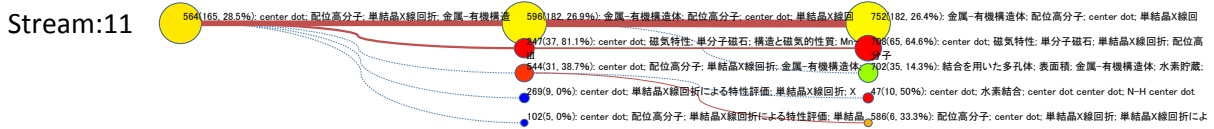


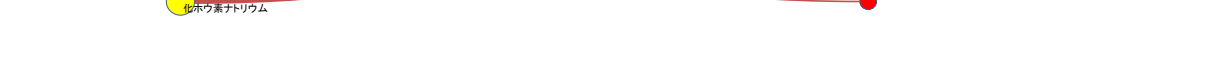
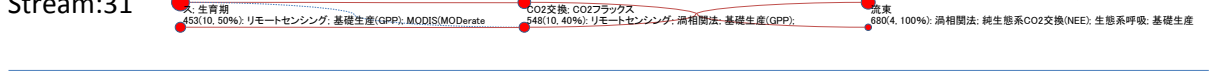
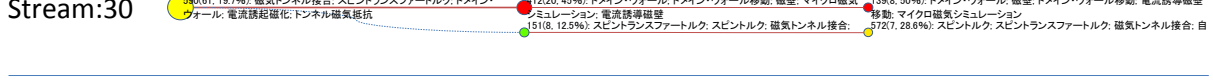
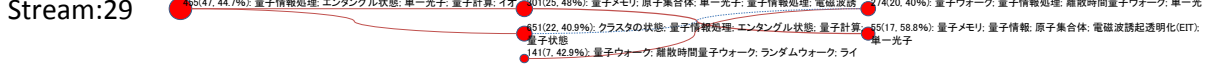
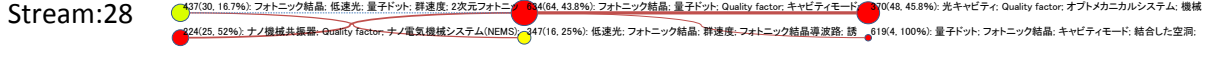
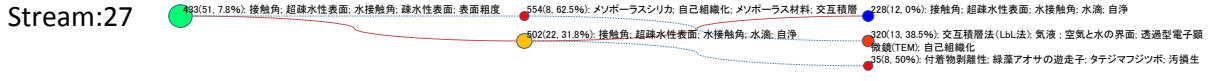
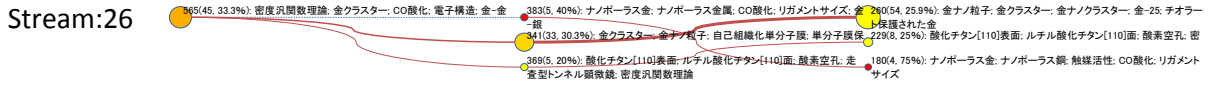
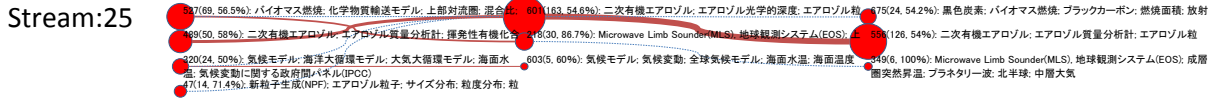
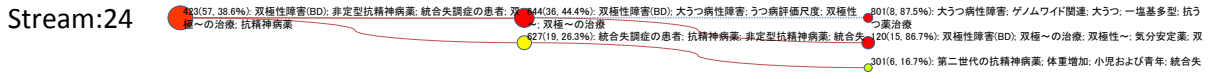
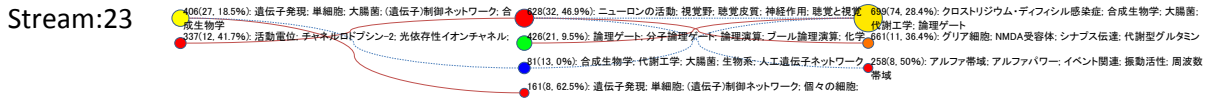
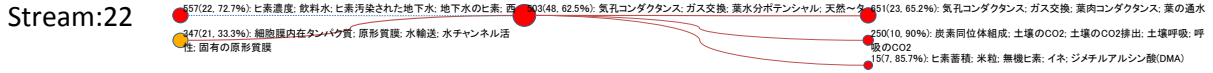
Stream:9

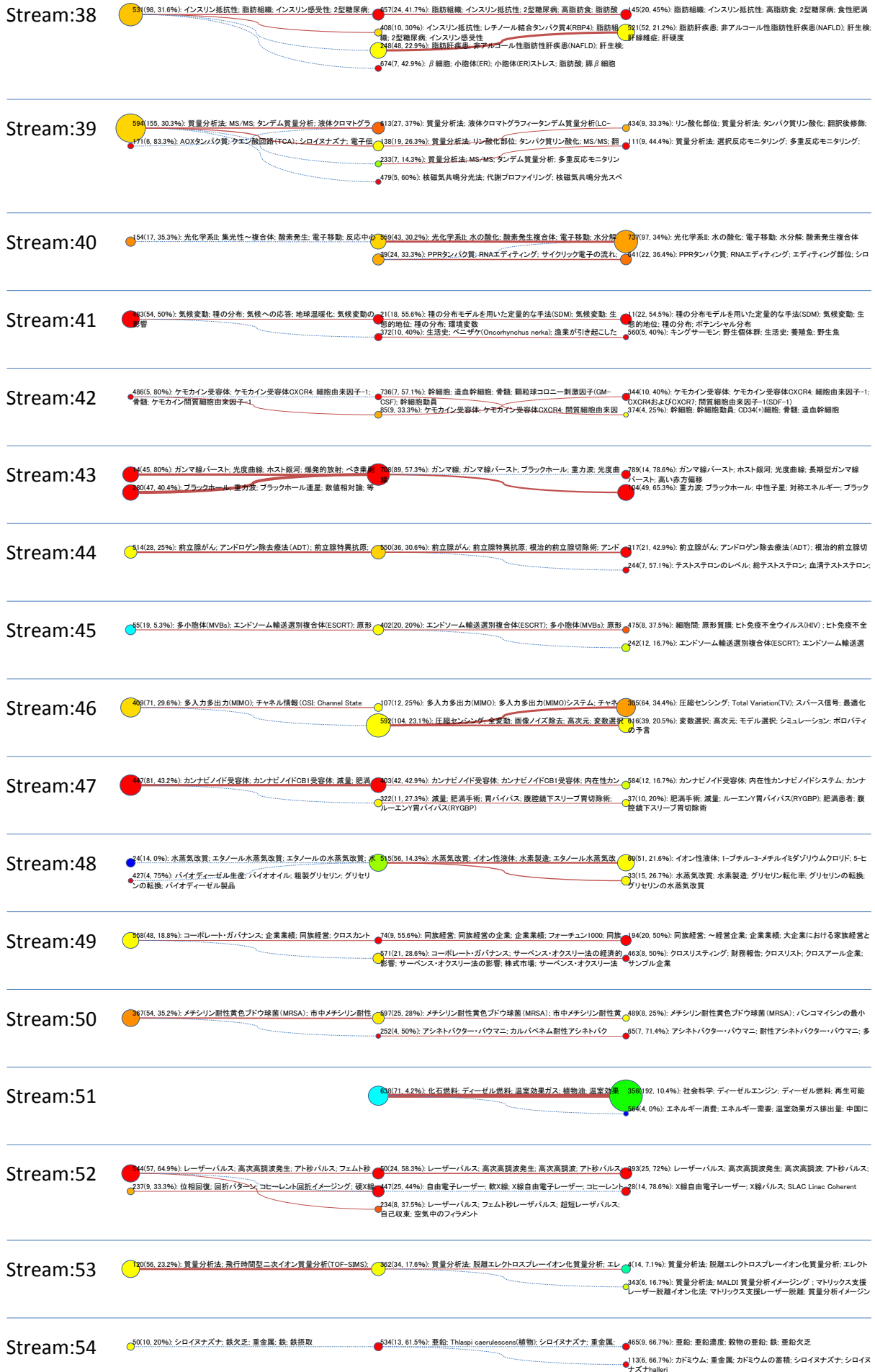


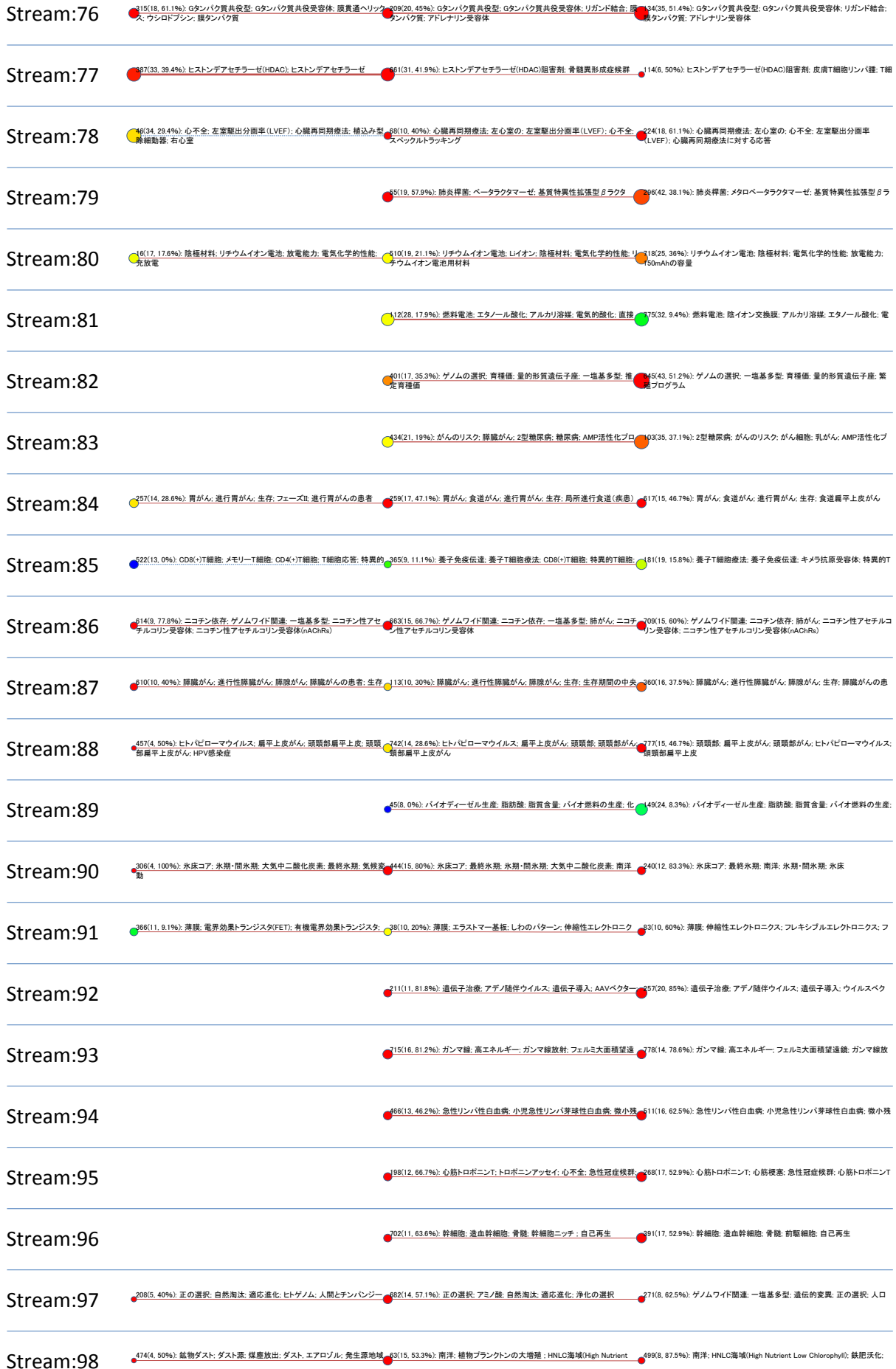
Stream:10

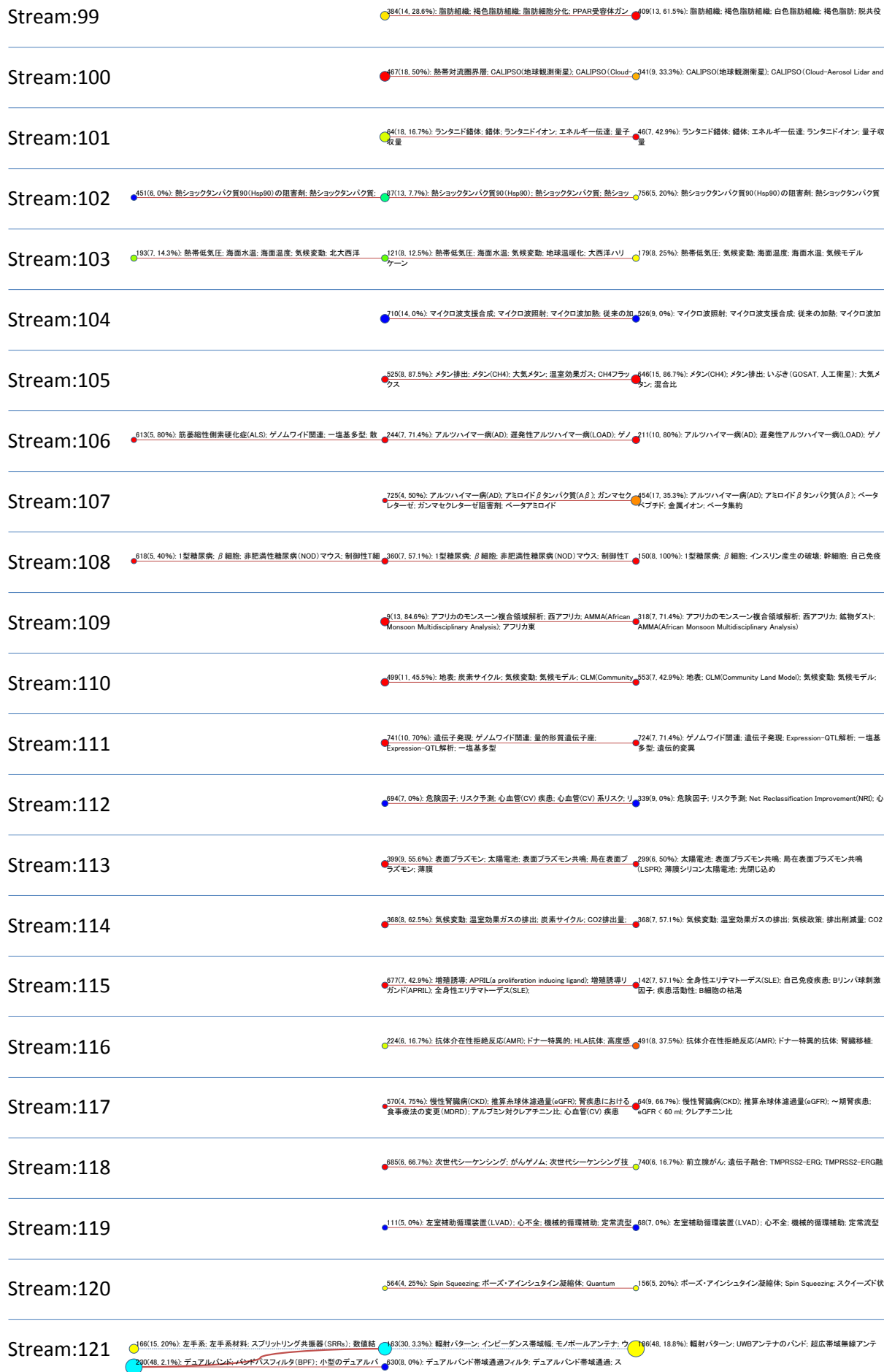




















- Stream:211 ●250(14, 42.9%): カエルツボカビ菌(Batrachochytrium dendrobatidis): 両生類 ●558(13, 23.1%): カエルツボカビ菌(Batrachochytrium dendrobatidis): 両生類

- Stream:212 ●417(9, 11.1%): ニューラルネットワーク: 放射基底関数: 放射基底関数ニューラ ●319(18, 16.7%): ニューラルネットワーク: EEG信号: てんかん発作: 脳波

- Stream:213 ●91(7, 0%): 硫黄化合物: ジベンゾチオフェン(DBT), 4,6-ジメチルジベンゾチオ ●424(14, 14.3%): イオン性液体: 液液平衡: 無限希釈での活性係数: 三成分系: ●13(5, 0%): イオン性液体: 酸化脱硫: Dibenzothiophene(DBT) and 4,6-

- Stream:214 ●624(20, 75%): 熱帯熱マラリア原虫: マラリアワクチン: マラリア伝染: 血液ス ●38(6, 100%): 熱帯熱マラリア原虫: マラリア伝染: マラリア予防対策: 殺虫剤処

- Stream:215 ●484(15, 26.7%): 近似ベイズ計算: Nested Clade Phylogeographical ●71(10, 30%): 近似ベイズ計算: 遺伝子流動: 個体数: 集団遺伝学: 遺伝的

- Stream:216 ●122(11, 54.5%): テロメアの長さ: テロメアの短縮化: 短いテロメア: テロメラー ●452(7, 42.9%): テロメアの長さ: テロメアの短縮化: 短いテロメア: 白血球テロメ ●62(7, 0%): テロメアの長さ: 白血球テロメア長: 短いテロメア: テロメアの短縮

- Stream:217 ●348(7, 85.7%): カタウレイボヤ: 骨素動物のボディプラン: 系統発生解析: 姉 ●237(9, 100%): カタウレイボヤ: 系統発生解析: 共通祖先: ボディプラン: 遺 ●269(9, 100%): 系統発生解析: 姉妹群: 共通祖先: ネマトセラ(インゲンチャク

- Stream:218 ●426(9, 44.4%): 基底系: 連続クラスター法: Correlation consistent基底: 第一 ●464(9, 55.6%): 基底系: 霧わに相関: 霧わに相関した連続クラスター理論: ●486(7, 42.9%): 霧わに相関: 基底系: 霧わに相関した連続クラスター理論:

- Stream:219 ●450(10, 10%): フレーム型原子吸光: 検出限界: フレーム型原子吸光分析: ●450(4, 0%): 固相抽出: クロム: フレーム型原子吸光分析: 水サンプル: トレー ●126(11, 9.1%): フレーム型原子吸光: フレーム型原子吸光分析: 固相抽出: 検

- Stream:220 ●391(11, 27.3%): 胆汁酸塩: ペーラクトグロブリン: 人工腸液: 水エマルジョン ●170(14, 14.3%): 水エマルジョン中の油: ペーラクトグロブリン: 脂質消化: 送

- Stream:221 ●292(6, 50%): 地域気候モデル(RCM): 気候変動: 地表: 土壌水分: 地域気候シ ●481(5, 40%): 地域気候モデル(RCM): 気候変動: 将来気候: 土壌水分: 地表 ●495(13, 53.8%): 地域気候モデル(RCM): 気候変動: 気温と降水量: 将来気候: 排出シナリオ

- Stream:222 ●168(13, 69.2%): 走査型トンネル顕微鏡: 自己組織化: 二次元: 水素結合: 液体 ●330(6, 83.3%): 走査型トンネル顕微鏡: 二次元: 自己組織化: 液体固体界面: ●502(5, 60%): 走査型トンネル顕微鏡: 自己組織化: 二次元: 液体固体界面: 液

- Stream:223 ●342(16, 56.2%): 代謝経路網: ゲノム規模の代謝モデル: 合成生物学: 制約 ●61(7, 42.9%): 代謝経路網: ゲノム規模の代謝モデル: 合成生物学: 代謝モデル: 制約ベースのモデリング

- Stream:224 ●538(4, 50%): 基質特異性拡張型βラクタマーゼ(ESBL): 大腸菌: 基質特異性 ●578(12, 33.3%): プラスミド媒介性キノロン耐性: 大腸菌: 基質特異性拡張型β ●546(7, 71.4%): 基質特異性拡張型βラクタマーゼ(ESBL): 大腸菌: 大腸菌の

- Stream:225 ●525(4, 0%): メタノールとダイズ油: バイオディーゼル生産: 大豆油のエステル ●11(12, 16.7%): バイオディーゼル生産: モル比: メタノールと油: メタノール/油 ●128(7, 14.3%): バイオディーゼル生産: メタノール/油モル比: モル比: メタノールと油: 油のモル比

- Stream:226 ●144(5, 40%): 社会技術システム: イノベーションシステム: マルチレベル: 技術 ●230(5, 60%): イノベーションシステム: 社会技術: 技術革新システム: マルチレ ●92(12, 50%): 社会技術: イノベーションシステム: 重層的視座: 社会技術的な

- Stream:227 ●25(12, 50%): 四重鉛塩: GaAsナノワイヤ: 分子線エビタキシー: 成長したナノ ●31(10, 50%): 四重鉛塩: GaAsナノワイヤ: 成長したナノワイヤ: 分子線エビタキ ●19: 気相-液相-固相 (Vapor-Liquid-Solid: VLS)成長法

- Stream:228 ●393(8, 25%): 受精能保存: 卵巣組織: 卵母細胞の凍結保存: 凍結融解する: ●531(14, 21.4%): 受精能保存: 卵巣組織: 卵母細胞の凍結保存: 卵巣機能: 早

- Stream:229 ●60(15, 33.3%): m面窒化ガリウム: InGaIn/GaN: GaN基板: 量子井戸: 発光ダイ ●419(6, 16.7%): GaN基板: m面窒化ガリウム: レーザダイオード: 量子井戸: InGaIn/GaN

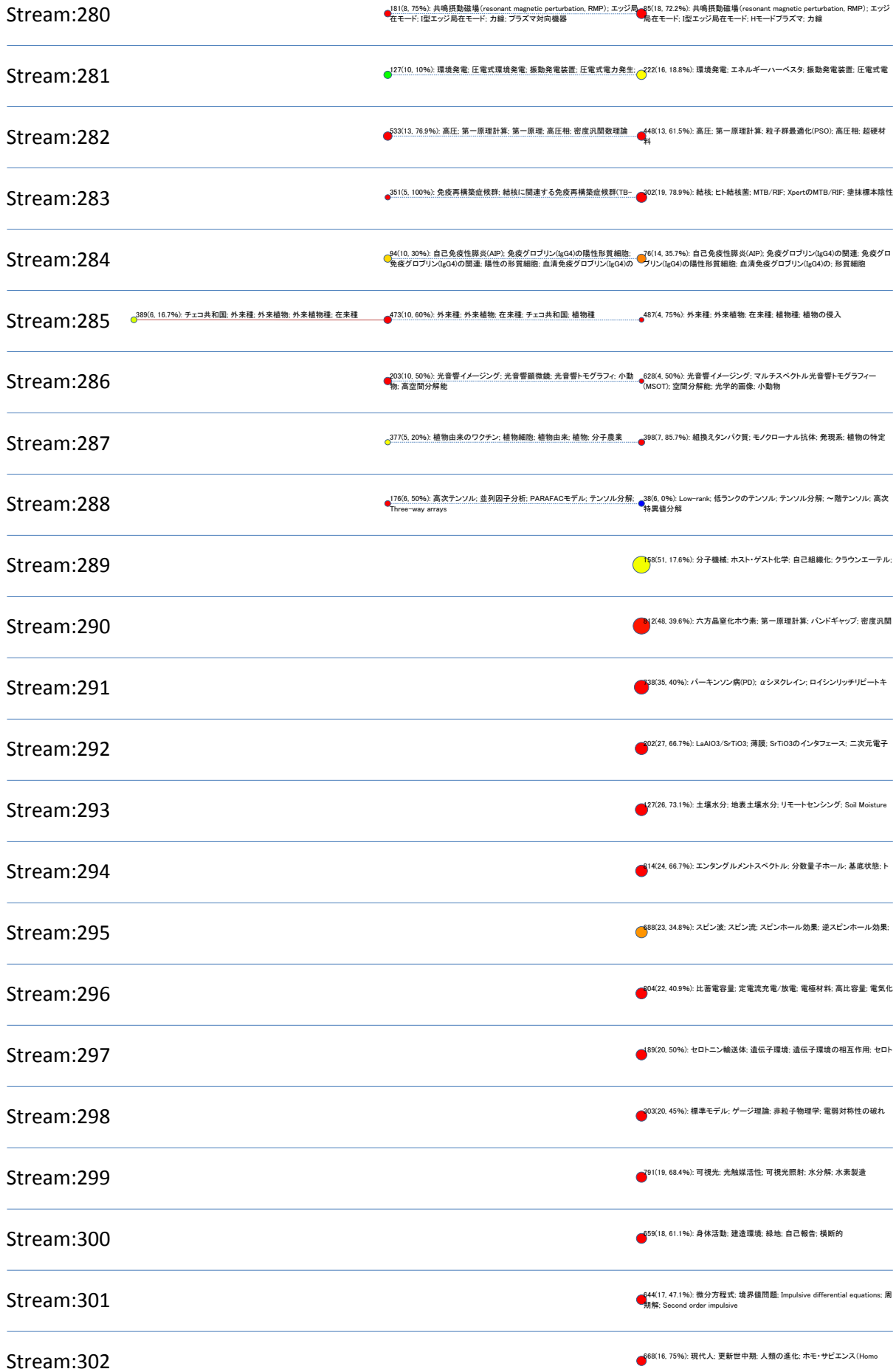
- Stream:230 ●57(8, 25%): ラフ集合: ラフ集合論: ファジーラフ集合理論: 情報システム: ラフ ●44(13, 38.5%): ラフ集合: ラフ集合論: ファジーラフ集合理論: Attribute

- Stream:231 ●140(14, 64.3%): 符号なしラプラス: 符号なしラプラスアン行列: ラプラスアの ●107(7, 28.6%): 符号なしラプラス: 隣接行列: 符号なしラプラスアン行列: ラプラスのスペクトル構造: 隣接行列: n頂点とKのカットと連結グラフ

- Stream:232 ●67(7, 85.7%): 宇宙線: 高エネルギー宇宙線: 超高エネルギー宇宙線: ビエー ●814(6, 100%): 宇宙線: 高エネルギー宇宙線: 超高エネルギー宇宙線: ビエー ●457(1, 100%): 宇宙線: 高エネルギー宇宙線: ビエール: オージェ観測所: ガ

- Stream:233 ●348(7, 28.6%): 骨形成: Wntシグナル伝達: ベータカテニン: 骨量: Wntシグナル ●339(13, 53.8%): 骨形成: 骨量: 骨ミネラル濃度: 骨吸収: Wntシグナル伝達経路





Stream:303	691(16.312%): 海水: 北極海: 北極海水: 表層結氷: 海水面積
Stream:304	380(15.467%): 生態系サービス: エコ(環境)システムサービスのための支払
Stream:305	437(15.267%): グリッド接続: 分散型電源: 制御戦略: シミュレーションと実験結果: 制御方式
Stream:306	748(15.533%): イオントラップ: 量子シミュレーション: 量子シミュレータ: 量子
Stream:307	765(15.20%): 脐帯血: 脐帯血移植: 幹細胞: 造血幹細胞移植: 移植片対宿主病(GVHD)
Stream:308	500(14.50%): ゲノム配列: 全ゲノム塩基配列: ドラフト・ゲノム配列: 基準株:
Stream:309	297(14.714%): 氷河期: 北大西洋: 木の年輪: 気候変動: 海面水温
Stream:310	178(13.769%): 気候変動: 土壌有機炭素: 土壌有機物: 有機物: 生育期
Stream:311	444(13.769%): 種の分布: 種の分布モデルを用いた定量的な手法(SDM): 気候変動: 動的植生モデル: プロセスベース
Stream:312	751(13.308%): リチウムイオン電池: リチウムイオンのためのアノード材料: リ
Stream:313	91(12.167%): 開環重合: RACラクチド: L-ラクチドの重合: 分子量: 開環重合開始剤
Stream:314	133(12.333%): リチウムイオン電池: 陽極材料: 速度性能: 電気化学的性能:
Stream:315	147(11.364%): 囊胞性線維症(CF): 緑膿菌: 囊胞性線維症(CF)の患者: 囊胞性線維症(CF)の肺: 培養に依存しない
Stream:316	469(11.909%): ホジキンリンパ腫: B細胞リンパ腫: 陽電子放出断層撮影
Stream:317	806(11.91%): 酸化グラフェン: グラフェン酸化物: 酸化グラフェンの還元: グラ
Stream:318	547(10.20%): 線維芽細胞増殖因子21(FGF21): ベルオキソノーム増殖因子
Stream:319	713(10.10%): ブロックコポリマー: P3HT(有機分子エレクトロニクス材料): ジブ
Stream:320	735(10.30%): ベルオキシダーゼ(HRP): 電気化学免疫センサー: 電気化学免
Stream:321	289(10.50%): 維管束輪(BS)細胞: 光合成経路: トウモロコシ(Zea mays L.): 葉
Stream:322	532(10.70%): 制御性T細胞: 臓器移植: 免疫応答: ドナー特異的: 移植のレシ
Stream:323	939(22.2%): 細胞死: プログラム細胞死: 植物におけるオートファジー: シロイ
Stream:324	518(9.333%): mRNA: 遺伝子発現: HIV-1の複製: 感染した細胞: HIV-1感染
Stream:325	18(9.556%): 気候変動: Thermal tolerance: 地球温暖化: 気候変動への応答:

Stream:326	284(9, 55.6%); スフィンゴシン-1-リン酸(SIP); スフィンゴシン-1-リン酸(SIP) 受容体; スフィンゴシンキナーゼ; Gタンパク質共役型; 生理活性脂質
Stream:327	411(9, 55.6%); エルニーニョ現象; エルニーニョ南方振動; 海面温度; 海面水
Stream:328	461(9, 33.3%); 小分子阻害剤; BETファミリー; BETファミリータンパク質BRD4; タンパク質相互作用(PP1); 遺伝子発現
Stream:329	585(9, 44.4%); 気候変動; 遊走補助; 気候の変動; 気候変動への応答; 樹種
Stream:330	746(9, 11.1%); がん細胞; ワールブルク効果; 好氣的解糖; ビルビン酸キナーゼ; 腫瘍細胞
Stream:331	793(9, 66.7%); 上皮間葉移行; 臓臓がん; 間葉移行; がん細胞; がん幹細胞
Stream:332	428(8, 0%); パラジウム触媒; 良好な収率; 触媒反応; 銀トリフラート触媒による 反応; 触媒によるタンデム反応
Stream:333	430(8, 25%); ナンヨウアブラギリ(Jatropha curcaa); バイオディーゼル生産; 酸
Stream:334	540(8, 50%); 翻訳後修飾; ヒストンデアセチラーゼ(HDAC); リジンアセチル化; タンパク質アセチル化; リジン残基
Stream:335	703(8, 25%); 自己組織化; ホスト-ゲスト化学; center dot; 核磁気共鳴分光法;
Stream:336	790(8, 12.5%); コレステロール流出; miRNA; コレステロール恒常性; 遺伝子発 現; 高密度リポタンパク質(HDL)
Stream:337	502(7, 42.9%); miRNA; 遺伝子発現; 非翻訳RNA(ncRNAs); C型肝炎ウイルス;
Stream:338	22(7, 57.1%); レーザーパルス; 磁化ダイナミクス; 磁気光学カー効果; 円偏光; レーザー誘起
Stream:339	27(7, 57.1%); 断層帯; サンアンドレアス断層; 断層帯; 断層粘土; 流体圧力
Stream:340	88(7, 42.9%); 光トラッピング; 表面プラズモン; Optical forces; 光ピンセット; 表面 プラズモン共鳴
Stream:341	171(7, 28.6%); 気候モデル; 気候変動; 全球気候モデル; 全球気候モデル; 気
Stream:342	212(7, 0%); 脊髄性筋萎縮症(SMA); 運動ニューロン; 生存運動ニューロン (SMN1); 脊髄性筋萎縮症(SMA)タンパク質; アデノ随伴ウイルス
Stream:343	298(7, 71.4%); ドメイン・ウォール; 強誘電体のドメイン壁; 薄膜; 圧電応答顕微
Stream:344	520(7, 0%); 核酸; クリックケミストリー; クリック反応; アジ化アルキン; 構成要
Stream:345	719(7, 57.1%); びまん性大細胞型B細胞リンパ腫(DLBC); 大細胞型B細胞リ
Stream:346	723(7, 0%); 二酸化炭素の削減; CO2光触媒還元; 可視光; 二酸化炭素; 光触
Stream:347	792(7, 0%); グラフェン電界効果トランジスタ; グラフェントランジスタ; グラフェ
Stream:348	794(7, 57.1%); リチウムイオン電池; 隔極材料; リチウムイオン電池用材料; リ

Stream:349	818(7.0%): メンボラスシリカ; コアシェル; シリカシェル; 中空球; ドラッグデリ
Stream:350	378(6.0%): 太陽電池; ハイブリッド太陽電池; 電力変換効率; P3HT(有機分子
Stream:351	384(6.667%): ヒストン修飾; 遺伝子発現; キロシヨウジヨウハニ; 転写因子;
Stream:352	514(6.50%): ゲノムワイド関連; 一塩基多型; ゲノムワイド関連解析; 複雑な形
Stream:353	596(6.333%): 陸上生態系モデル; 窒素堆積; 生態系モデル; 動的な土地生 態系モデル(DLEM)ベースの; 動的な土地生態系モデル(DLEM); 陸上生態系
Stream:354	243(5.60%): プラシノステロイド(BRe)シグナル伝達; プラシノステロイド(BRs);
Stream:355	716(5.80%): 葉の発育; 葉形; 複製; CUG遺伝子; シロイヌナズナ
Stream:356	267(5.60%): シロイヌナズナ; 自然変異; 表現型変異; ゲノムワイド関連; 遺伝
Stream:357	544(5.20%): 三成分反応; 1ポット; 多成分反応; 1ポット; 3成分の合成; 三成分 合成
Stream:358	545(5.20%): 大腸がん; BRAF V600E; MEK阻害剤; BRAF変異; 上皮成長因
Stream:359	581(5.60%): 前立腺がん; 前立腺特異抗原; 前立腺がんのスクリーニング; 積 極的監視; 低リスクの前立腺
Stream:360	597(5.20%): 統合失調症1(DISC1); ニューレグリン1(NRG1); 統合失調症の遺
Stream:361	736(5.40%): ヘアリーセル白血病(HCL); BRAF V600E; BRAF V600Eの変異; BRAF変異; ヘアリーセル白血病(HCL)変異
Stream:362	747(5.100%): 卵巣がん; 体細胞変異; 卵巣明細胞; クロマチン再構
Stream:363	760(5.100%): 若年性特発性関節炎; 腫瘍壊死因子(TNF); 若年性特発性関 節炎の小児; 若年性特発性関節炎の患者; 関節リウマチ
Stream:364	819(5.40%): マトリックス支援レーザー脱離イオン化法; グラフエン酸化物; 固
Stream:365	21(4.0%): 内視鏡的粘膜下層剥離術(ESD); 一括切除; 内視鏡的粘膜切除 術; 前方発育型腫瘍; 大腸がん
Stream:366	152(4.75%): 量子系; 定常状態; 開放量子; エンタングル状態; マスター方程
Stream:367	154(4.50%): 不整脈源性右室心筋症(ARVC); 不整脈源性右室; 不整脈源性 右室心筋症(ARVC)の患者; 心臓突然死; 心室性不整脈(VA)
Stream:368	281(4.0%): 第一原理計算; Graphyneの機械的性質; 二次元炭素同素体; 炭
Stream:369	371(4.50%): mRNAの分解; 翻訳抑制; miRNA媒介遺伝子サイレンシング; 標 的mRNA; 遺伝子発現
Stream:370	376(4.25%): ナトリウム利尿ペプチド; 心不全; B型ナトリウム利尿ペプチド
Stream:371	525(4.50%): アミロイド繊維; アミロイドβ; アルツハイマー病(AD); ベータシー

Stream:372	655(4, 0%): イオン性液体: 系イオン性液体: 1-ブチル-3-メチルイミダゾリウ
Stream:373	666(4, 0%): ピンサー型錯体: ピンサー型配位子: バラジウム触媒: Pd(III): 含
Stream:374	706(4, 50%): リチウムイオン電池: カソード材料: 放電能力: 高充放電能力: 充
Stream:375	745(4, 100%): 血圧: ゲノムワイド関連: 一塩基多型: 遺伝的変異: 本態性高血
Stream:376	749(4, 50%): DNAメチル化: ゲノムワイド: バイサルファイトシーケンシング:
Stream:377	759(4, 50%): がん細胞: ヒトのがん: 肺がん: 全ゲノムエキソーム配列決定: が
Stream:378	773(4, 75%): 光格子: ハニカム格子: トポロジカル絶縁体: ティラックフェルミ
Stream:379	774(4, 25%): グラフェンナノリボン: 熱伝導: グラフェンの特性: 非平衡グリーン
Stream:380	780(4, 75%): 比蓄電容量: エネルギー貯蔵: エネルギー密度: 比表面積: 電気化学キャパシタ
Stream:381	781(4, 0%): ジロジウム(II): ジアゾ化合物: ロジウム: カルベン挿入: 遷移金属
Stream:382	820(4, 0%): メタノール酸化: 燃料電池: サイクリックボルタンメトリーによる調査: 電極触媒活性: X線回折: 透過型電子顕微鏡
Stream:383	232(54, 31.5%): 行列方程式: 数値例: 最小二乗: 反復アルゴリズム: パラメー
Stream:384	87(40, 2.5%): 腰痛: 鎮痛: 介入性疼痛管理: 硬膜外ステロイド注射: 慢性腰
Stream:385	369(35, 25.7%): 独創性/価値: 実用的な意味合い: 競争優位性: 製造業: ケー
Stream:386	587(35, 57.1%): 自己推進: 自走式粒子: 集団運動: 数学的運動論: 活性粒子
Stream:387	473(29, 34.5%): 平成23年(2011年)東北地方太平洋沖地震: 平成23年(2011
Stream:388	550(26, 38.5%): 差分方程式: Max-Type Difference Equation: 正値解: 実数: 初期値*
Stream:389	109(25, 16%): 有機ランキンサイクル: 作動流体: 廃熱: 熱源: 廃熱利用
Stream:390	48(24, 8.3%): 合成カンナビノイド: 合成麻薬: リーガルハイ(脱法ドラッグ): JWH-018およびJWH: 質量分析法
Stream:391	681(23, 34.8%): FPGA(Field-Programmable Gate Array): 実験結果: FPGA
Stream:392	162(22, 18.2%): 定常流型のフローリアクター: 滞留時間: フローキネムトリー: 連続フロー条件
Stream:393	59(21, 28.6%): 政策移転: 事業改善地区: Policy mobilities: 都市政策: Policy
Stream:394	76(21, 38.1%): ガウス干渉チャネル: 干渉アライメント: Interference Channel: 多入力多出力(MIMO)インターフェイス: チャネル情報(CSI: Cha

Stream:395	312(21.52.4%) 実験結果: Structured light; 時系列: 非線形時系列; 長距離
Stream:396	472(21.23.8%) 2009年4月6日ライクラ地震; 正断層; 本震: 中央アベニン; 地震振動
Stream:397	1(20.35%) 経済成長: 長期: エネルギー消費; エネルギー消費と経済成長:
Stream:398	357(20.55%) 貿易の自由化; 企業レベル; 労働市場; 企業の輸出; 会社の異
Stream:399	684(20.25%) 速い応答時間; 接触時間; 吸着容量; 検出限界; 水溶液
Stream:400	23(19.68.4%) 身体活動: 座って行う行為; 中・高強度の運動(MVPA); 貴やし
Stream:401	47(19.15.8%) 閉ループシステムにおける信号; 非線形システム; 出力フィード
Stream:402	200(19.26.3%) マシンスケジューリング問題; ジョブ処理時間; Minimize the
Stream:403	146(17.41.2%) 自己推進; 磁場; 低レイノルズ数; 触媒ナノモーター; 回転磁
Stream:404	264(17.35.3%) 潜熱蓄熱材; 相変材料(Phase Change Material: PCM); 相
Stream:405	503(17.70.6%) 包絡分析法(DEA: Data Envelopment Analysis); 望ましくない
Stream:406	577(17.11.8%) 発光ダイオード(LED); InGaN/GaN; ~にともづく発光ダイオー
Stream:407	24(16.12.5%) マグネシウム合金; 耐食性; 模擬体液; 腐食速度; 腐食挙動
Stream:408	68(16.18.8%) 土地の収奪; エコ(環境)システムサービスのための支払い
Stream:409	247(16.56.2%) 力学的性質; セルロースナノ結晶; ミクロフィブリル化セルロー
Stream:410	395(16.18.8%) 高速液体クロマトグラフィー; 充填カラム; シェル粒子; ポーラス
Stream:411	557(16.56.2%) 低分子干渉RNA(sRNAs)の輸送; プロタンパク質転換酵素サ
Stream:412	43(15.26.7%) 原子力発電所; セシウム134とセシウム137; 福島第一原子カ
Stream:413	249(15.46.7%) 好中球細胞外トラップ; 自然免疫; NETの形成; 免疫応答; 全
Stream:414	453(15.6.7%) バンドパスフィルタ(BPF); 伝達帯; デュアルバンド帯域通過
Stream:415	591(15.66.7%) 中石器時代; 南アフリカ; 現代人; 更新世後記; マラウイ湖
Stream:416	595(15.40%) 拡散テンソル画像(DTI); 白質; 異方性比率(FA); 白質路; 上縦
Stream:417	353(14.0%) 伝統的ないじめ; ネットいじめ; いじめやネットいじめ; 学校の学

Stream:418	418(14.14.3%) 分数次、カオス系: 分数次システム; 分数次システムの安定
Stream:419	423(14.7.1%) マイクロ流体素子: Lab-on-a-chip(LOC)デバイス; マイクロ流体デバイス; マイクロ流体システム; 表面弾性波
Stream:420	578(14.71.4%) 三疊紀後期; 大量絶滅; 三疊紀/ジュラ紀境界; 化石記録; 獣
Stream:421	599(14.42.5%) 炭酸脱水酵素(CA); 亜鉛酵素炭酸脱水酵素; 炭酸脱水酵素(CA)阻害剤; ヒト炭酸脱水酵素(hCAII); 炭酸脱水酵素(CAII)
Stream:422	348(13.7.7%) ぜん動流; 長波長; 低レイノルズ数; 長波長; 低レイノルズ数の
Stream:423	364(13.53.8%) 共生細菌ボルバキア感染; 共生細菌ボルバキア株; 細胞質不和合性; ネットアインマカ(Aedes aegypti); 共生細菌ボルバキアに感染
Stream:424	551(13.61.5%) 大腸菌の産出; 大腸菌を産生する志賀毒素; 大腸菌O104;
Stream:425	664(13.38.5%) ポイント・オブ・ケア検査; 低コスト; マイクロ流体デバイス;
Stream:426	795(13.84.6%) 標準モデル; 新しい物理学; Search for the rare decays B →;
Stream:427	9(12.58.3%) ビスフェノールA; 内分泌かく乱化学物質; BPA暴露; ビスフェ
Stream:428	51(12.16.7%) 有意性検定; 帰無仮説; 心理学; 帰無仮説の意義; 出版バイ
Stream:429	58(12.50%) 高頻度データ; 微細構造ノイズ; 実現ポラリティ; マーケッ
Stream:430	324(12.41.7%) マインドフルネスにもとづく認知療法(MBCT); マインドフルネ
Stream:431	351(12.75%) Ia型超新星; 光度曲線; コア崩壊; M-サークルドット; 超新星
Stream:432	377(12.8.3%) ボウル形の; 多環式芳香族炭化水素; カーボンナノチューブ;
Stream:433	403(12.50%) 東太平洋赤道域; 赤道東部; 有光層; 地表水; 生物源シリカ
Stream:434	456(12.50%) 準地衡流渦度方程式; 準地衡渦度方程式; 分数的ラプラシア
Stream:435	506(12.100%) 新生児死亡; 妊産婦死亡; ミレニアム開発目標; 出生; 出生
Stream:436	573(12.16.7%) オイラー数と多項式; q-Euler数; オイラー多項式; フェルミ分
Stream:437	84(11.18.2%) Web of Science; 被引用数; Hirsch index(h-index); インパクト
Stream:438	216(11.18.2%) 一過性受容体電位(TRP); 一過性受容体電位(TRP); 感覚ニューロン; TRPチャネル; イオンチャネル
Stream:439	394(11.81.8%) ポラリトン凝縮体; 励起子ポラリトン; ボース・アインシュタイン
Stream:440	406(11.27.3%) メラトニンの効果; メラトニンの治療; 酸化ストレス; 結果は、メラトニンが〜であることを示す; フリーラジカル

Stream:441	57(10, 40%): チクングニヤウイルス; ヒトスジシマカ(Aedes albopictus); インド
Stream:442	34(10, 30%): E型肝炎ウイルス; HEV感染; 抗HEV; HEV RNA; 急性肝炎
Stream:443	196(10, 30%): 妊婦初期のスクリーニング; 週の妊婦; 胎児の首のむくみ(NT);
Stream:444	246(10, 70%): 双極性障害(BD); 酸化ストレス; 大うつ病性障害; 脳由来神経栄養因子(BDNF); 酸化およびミトコンドリアストレス
Stream:445	252(10, 10%): 活性炭; 単層吸着容量; 活性炭の調製; メチレンブルーを用い
Stream:446	480(10, 80%): スピンアイス; 磁気単極子; 人工スピンアイス; 磁荷; 基底状態
Stream:447	497(10, 60%): 結晶セルロース; トリコテルマリーゼイ; 植物細胞壁; 酵素加水
Stream:448	530(10, 10%): ファジールベース; 進化的アルゴリズム; 遺伝的アルゴリズム; ファジシステム; データセット
Stream:449	531(10, 90%): 母子感染; 母子感染の防止; HIVに感染した; 抗レトロウイルス
Stream:450	558(10, 20%): 上部マントル; 岩流圏-岩石圏境界; レシーバ関数解析; せん断波速度; キロの深さ
Stream:451	571(10, 10%): alpha(v)beta(3)-インテグリン; RGDペプチド; インテグリンのター
Stream:452	592(10, 50%): PI3K; 哺乳類ラママイシン標的タンパク(mTOR);
Stream:453	711(10, 20%): 肺がん; 非小細胞肺がん(NSCLC); 肺腺がん; 細胞がん; 扁平
Stream:454	132(9, 66.7%): Fictitious Time Integration Method(FTIM); 非線形代数方程式
Stream:455	206(9, 11.1%): 再生可能エネルギー; エネルギーシステム; 電気自動車; 風力;
Stream:456	235(9, 22.2%): ストア作動性カルシウム流入(SOCE); 原形質膜; 小胞体(ER);
Stream:457	254(9, 33.3%): 交代制の仕事; 夜勤; 概日リズム; 概日リズム破壊; 夜の光
Stream:458	283(9, 66.7%): 食物網; サイズ構造; 体の大きさ; 気候変動; コミュニティのサイ
Stream:459	300(9, 33.3%): 体幹部定位放射線治療(SBRT); 細胞肺がん; I期の非小細胞
Stream:460	309(9, 0%): ソーシャルネットワークングサイト; 社会ネットワーク; Facebook;
Stream:461	402(9, 44.4%): 凸体; Isotropic log concave; Isotropic convex body; p重心ボディ; Brunn-Minkowski不等式
Stream:462	413(9, 44.4%): 卵巣がん; 上皮性卵巣がん; ヒト精巣上体分泌タンパク質
Stream:463	445(9, 44.4%): 脆弱性X症候群; 脆弱X精神遅滞タンパク質(FMRP); 代謝型グルタミン受容体; 結節性硬化症複合体; シナプス可塑性

Stream:464	446(9, 55.6%): 経済地理学, 地域経済成長, 外部知識, 認知的近接性, 不均等
Stream:465	449(9, 55.6%): コヒーレントシステム, 順序統計量, 平均寿命, ハザード比, コンポネントの寿命
Stream:466	477(9, 77.8%): 活性領域, 動作領域, 活動域, 磁場, 可視光・磁場望遠鏡
Stream:467	516(9, 44.4%): 圧縮性Navier-Stokes-Poisson方程式, Navier-Stokes-Poisson方程式, 最適な時間減衰, Boltzmann方程式, 大域
Stream:468	534(9, 0%): 学習環境, コンテキスト利用型ユビキタス学習, 学習システム, 学
Stream:469	588(9, 11.1%): 情動表出の制御, 認知神経科学, 恐怖, 嫌悪, 基本的な感情, 認知プロセス
Stream:470	632(9, 11.1%): 環境刺激, 参加者は~を持続する時間を大きく増加させた, 発
Stream:471	663(9, 33.3%): 非典型型溶血性尿毒症症候群(aHUS), 補完因子H, 代替経路, 補体活性化, 血栓性微小血管症
Stream:472	135(8, 50%): 透過型電子顕微鏡(TEM), 電界放出, 光学的性質, 走査型電子
Stream:473	90(8, 25%): 政治行動, 双子だけのデザイン, 政治学, 政治的嗜好, 行動通信学
Stream:474	185(8, 50%): スロースリップ, スロースリップイベント, 沈み込み帯, プレート境
Stream:475	379(8, 37.5%): ゆらぎの定理, エントロピー生成, 定常状態, Total entropy production, 非平衡定常状態
Stream:476	412(8, 37.5%): 媒介分析, 直接・間接的な影響, 因果推論, 制御された直接効
Stream:477	442(8, 25%): エボラウイルス, 重度の出血熱, マールブルグウイルス(MARV)とエボラウイルス(EBOV), フィロウイルス感染症, マールブルグウイルス
Stream:478	450(8, 50%): 遺伝的にコードされたカルシウム, 遺伝的にコードされたカルシ
Stream:479	476(8, 37.5%): 偶発病変, 研究参加者, 個々の研究結果, インフォームド・コン
Stream:480	485(8, 50%): 指数ランダムグラフ, 指数ランダムグラフモデル, ランダムグラフ
Stream:481	502(8, 37.5%): タンパク質の構造, タンパク質構造予測, CASP8(国際的なタン
Stream:482	575(8, 12.5%): フレーミング効果, 移民の帰化, 世論, 直接民主主義のキャン
Stream:483	710(8, 0%): ロジウム触媒による不斉, アリールボロン酸のロジウム触媒不斉
Stream:484	720(8, 62.5%): 樹状細胞(DC), 形質細胞様樹状細胞(pDCs), 適応免疫応答,
Stream:485	707(7, 14.3%): 質量分析法, イオン移動度質量, 気相, エレクトロスプレーイオン
Stream:486	747(7, 0%): デリクレ過程, ノンパラメトリックベイズ統計, 混合モデル, マルコフ

Stream:487	112(7, 28.6%): 分子動力学: 液体水: 分子第一原理: 水素結合: 経路積分分子
Stream:488	123(7, 57.1%): ヘリコバクター-ピロリ: ピロリ菌感染: ヘリコバクター-ピロリ除菌: 3剤併用: 尿素呼吸試験
Stream:489	182(7, 42.9%): 持続血糖測定(CGM): I型糖尿病: インスリンポンプ: 血糖: イン
Stream:490	225(7, 28.6%): 密度汎関数理論: ボロノノチューブ: ホウ素クラスター: 第一原理計算: ホウ素シート
Stream:491	236(7, 42.9%): 腹側袈裟野(VTA): ドーパミンニューロン: 外側手綱: 腹側袈裟
Stream:492	237(7, 0%): 乳房再建: 無細胞真皮マトリックス: 再建: 組織エキスハンダー: 被膜褥瘡
Stream:493	295(7, 85.7%): Space Shift Keying(SSK) Modulation: 空間変調: 多入力多出
Stream:494	327(7, 85.7%): 安定同位体: 安定同位体分析: delta C-13 と delta N-15: delta C-13 values: 食物網
Stream:495	414(7, 85.7%): 洗大腸動脈: 重症虚血性: 一次閉塞: 閉塞率: バルーン血管形
Stream:496	416(7, 42.9%): ループ量子重力理論: Spin foam: Spin foamモデル: スピンネットワーク: BF理論
Stream:497	435(7, 0%): 食品価格: 公衆衛生: 砂糖加糖飲料: 健康食品: 食品消費
Stream:498	471(7, 57.1%): 血中のカルジオール(25-ヒドロキシビタミンD, 25(OH)D): ビタミンDの状態: ビタミンDレベル: ビタミンD欠乏症: 25-ヒドロキシビタミンD(
Stream:499	474(7, 42.9%): リゾホスファチジン酸(LPA): リゾホスファチジン酸(LPA)受容体:
Stream:500	483(7, 57.1%): モード分割多重: モードファイバ: マルチモード光ファイバーでの非線形伝播: 16点直交振幅変調(16-QAM): PM-QPSK(偏波モードQPSK)
Stream:501	700(7, 28.6%): ハーモニー検索アルゴリズム: 最適化問題: メタヒューリス
Stream:502	712(7, 42.9%): 染色体の高次構造のキャプチャ(3C): ゲノムワイド: 調節エレメント: 転写因子: クロマチン構成
Stream:503	731(7, 14.3%): Toll様受容体: 自然免疫: 免疫応答: 自然免疫系: Toll様受容
Stream:504	17(6, 33.3%): Solar Dynamics Observatory(SDO, 太陽観測衛星): AIA(Atmospheric Imaging Assembly): 活性領域
Stream:505	69(6, 16.7%): 農業暮露: 有機リン系農薬: 有機りん系農薬: クロルピリホス: 出
Stream:506	118(6, 16.7%): 経口内視鏡的括約筋切開: 自然開口部経経管腔的内視鏡手
Stream:507	148(6, 66.7%): ミズクラゲ(Aurelia aurita): クラゲの大量発生: 海洋生態系: ゼ
Stream:508	204(6, 33.3%): エネルギー効率: エネルギー消費: 細胞ネットワーク: 基地局:
Stream:509	217(6, 33.3%): 抗酸化活性: ラジカル捕捉活性: タンパク質加水分解物: 加水

Stream:510	226(6, 100%): 縮小基底(RB); 縮小基底(RB)法; 事後誤差; オフライン; オンラ
Stream:511	276(6, 50%): ガロア表現; モジュラー形式; ガロア群; 有限フラットモデル; 横円
Stream:512	280(6, 0%): Low-rank; HSS行列; hierarchically semiseparable(HSS) matrices;
Stream:513	288(6, 50%): 間葉移行; 上皮間葉移行; トランスフォーミング増殖因子(TGF-
Stream:514	290(6, 33.3%): 前立腺がん; 拡散強調画像(DWI); 核磁気共鳴; ガイド下生検;
Stream:515	325(6, 16.7%): 再生医学; 細胞外マトリックス; 幹細胞; 再生医療; 組織工学
Stream:516	340(6, 0%): 変数選択; ベイズ変数選択; ベイズモデル; スケール混合; 回帰係
Stream:517	347(6, 50%): アンサンブルカルマンフィルタ; データ同化; 透水コンダクタンス; 土壌水分; 粒子フィルター
Stream:518	382(6, 16.7%): 性格特性; 人格障害; パーソナリティの5因子モデル; DSM-
Stream:519	383(6, 0%): ひずみ速度; 流動応力; 高温圧縮試験; 温度とひずみ速度; 高温 変形挙動
Stream:520	394(6, 16.7%): 輸血関連急性肺障害(TRALI); 輸血関連急性肺; 輸血関連の
Stream:521	405(6, 33.3%): 一酸化窒素; 生産; 植物; 役割; 硝酸レダクターゼ
Stream:522	417(6, 50%): ヒトパピローマウイルス; HPVワクチン; 子宮頸がん; HPV感染症;
Stream:523	429(6, 50%): 豚繁殖・呼吸障害症候群; 豚繁殖・呼吸障害症候群ウイルス (PRRSV); 豚繁殖・呼吸障害症候群ウイルス; 高病原性豚繁殖・呼吸障害症
Stream:524	440(6, 66.7%): 不動点; CAT(0) Spaces; 縮小写像; Asymptotic pointwise
Stream:525	457(6, 16.7%): 内戦; 北コーカサス; 暴力のレベル; 暴力の地理学; 北コーカサ スでの暴力
Stream:526	459(6, 0%): 定量的構造活性相関(QSAR); QSARモデル; 定量的構造活性相
Stream:527	492(6, 33.3%): 携帯電話; テキストメッセージ; ショートメッセージサービス (SMS); 携帯電話テキストメッセージ; ランダム化比較試験
Stream:528	493(6, 50%): プラズマシート; 磁場; 太陽風; サブストーム中のイベントとマクロ
Stream:529	496(6, 0%): 乳がん; ボディマス指数; 乳がんのリスク; 肥満は〜と関連してい る; がん予防
Stream:530	498(6, 16.7%): 固体酸化物型燃料電池; 固体酸化物燃料電池; 固体酸化物型
Stream:531	504(6, 50%): 気候変動; 気候モデル; 地球温暖化; 極端降水量; 酷暑; 熱波
Stream:532	522(6, 66.7%): 動的因果モデリング(DCM); Effective connectivity analysis;

Stream:533	527(6, 0%): 重大な欠陥; 内部統制; 財務報告に係る内部統制; 内部監査; ア
Stream:534	533(6, 0%): 二重不等式; Power mean of order p; Seiffert Mean; harmonic.
Stream:535	554(6, 83.3%): 単純反復配列(SSR)マーカー; 単純反復配列(SSR); 栽培種
Stream:536	559(6, 50%): アミノ酸; 食物-L-アルギニン補給; 一酸化窒素; アルギニン補充;
Stream:537	588(6, 0%): アンテナアレイ; サイドローベベル; 低サイドローベベル; サイ
Stream:538	590(6, 16.7%): Non-Gaussianity; ゆっくり転がるインフレーション; フィールドイ
Stream:539	603(6, 33.3%): 分散型電源; 流通網; 配電網; 分散型電源ユニット; DGユニッ
Stream:540	665(6, 50%): 有限要素; ポリマーネットワーク; 膨張が誘導する; 表面酸蝕; 感
Stream:541	41(5, 0%): DC-DCコンバータ; High step; ステップアップDC-DCコンバータ; ス
Stream:542	52(5, 0%): 複合組織同種移植; 顔面移植; 顔面複合組織; 総頸; 固形臓器移
Stream:543	100(5, 0%): ワーキングメモリ; ワーキングメモリの訓練; 認知訓練; 実行機能;
Stream:544	108(5, 20%): Shearlet変換; ウェーブレット変換; 連続Shearlet; Shearlet変換に
Stream:545	117(5, 20%): オキシ燃料; 石炭燃焼; オキシ燃料燃焼; 排気ガス; 微粉炭
Stream:546	124(5, 80%): ポリアニリン(PANI); アニリンの酸化重合; アンモニアによるアニ
Stream:547	160(5, 0%): 水和物形成; ガス水和物; アンモニウムブロミド; クラスレート水和
Stream:548	168(5, 60%): テントウムシ種; ナメテントウ; 生物的防除; テントウムシ; ギルド
Stream:549	172(5, 60%): 触媒性能; ゼオライト結晶; ZSM-5ゼオライト; Si/Al; 表面積
Stream:550	177(5, 40%): Cayley graphs; SLd(Z) generating a Zariski dense subgroup of
Stream:551	188(5, 40%): 紫外線B波の照射; シロイヌナズナ; 紫外線B波の誘発する; 光
Stream:552	190(5, 40%): HIVに感染した; 抗レトロウイルス療法; HIV感染症の患者; HIV
Stream:553	192(5, 40%): 植物細胞; 植物病原性のTranscription Activator-Like (TAL)エ
Stream:554	255(5, 40%): 食物アレルギー; アレルゲン特異的免疫療法; 経口免疫療法;
Stream:555	275(5, 0%): バンドノッチ; モノポールアンテナ; グランド・プレーン; UWBアプリ

Stream:556	283(5, 20%): アルツハイマー病(AD); グルカゴン様ペプチド-1(GLP-1); ベータアミロイド; 認識低下; 2型糖尿病
Stream:557	304(5, 40%): 耐性黄色ブドウ球菌; メチシリン耐性黄色ブドウ球菌(MRSA);
Stream:558	308(5, 40%): 微小脳出血(CMBs); 脳アミロイド血管症(CAA); 白質; 小血管疾患; 脳内出血(ICH)
Stream:559	310(5, 0%): ドナーアクセプターシクロロパン; ルイス酸触媒; 開環; 活性化し
Stream:560	346(5, 40%): タンパク質酸化; 脂質酸化; MAP包装(ガス充填包装); 高酸素
Stream:561	361(5, 0%): 食糧摂取量; 食品の手がかり; 食品への応答; 食品の報酬; 機能
Stream:562	372(5, 40%): ビタミンD欠乏症; 血中のカルジジオール(25-ヒドロキシビタミン
Stream:563	388(5, 40%): 関節リウマチ; RA患者; 関節リウマチの患者; 心血管(CV) 系リス
Stream:564	390(5, 20%): 格子ボルツマン法; 自然対流; レイリー数; 熱伝達; 平均セルト
Stream:565	392(5, 20%): ライフサイクルアセスメント; 生産システム; 温室効果ガス排出量;
Stream:566	427(5, 60%): フォトニック結晶; コロイド結晶; コロイド状フォトニック結晶; 磁場;
Stream:567	451(5, 0%): 聴性脳幹反応; 音楽の訓練; ノイズ認知でのスピーチ; 言語知覚;
Stream:568	464(5, 40%): 二重供給誘導発電機; 風カタービン; 回転子電流; 系統側変換
Stream:569	494(5, 60%): 肺炎連鎖球菌; 肺炎球菌結合型ワクチン、～髄膜炎球菌結合型ワクチン; 慢性的肺炎球菌感染症(IPD); 髄膜炎球菌結合型ワクチン
Stream:570	512(5, 0%): 心の理論(ToM); 心の理論; 社会的認知; 統合失調症の患者; 健
Stream:571	513(5, 0%): 粒子群最適化(PSO); 最適化問題; 多目的; 群最適化アルゴリズム; 多目的最適化
Stream:572	524(5, 60%): 熱帯熱マラリア原虫; 赤血球浸潤; マラリア原虫; アピコンプレク
Stream:573	547(5, 40%): 乳がん; がん検診; マンモグラフィによる乳がん検診; ~歳の女性; 乳がんの死亡率
Stream:574	549(5, 40%): アンジオテンシン受容体ブロッカー; アンジオテンシン変換酵素
Stream:575	562(5, 40%): 動学的確率的一般均衡モデル; 景気循環; 金融政策; 小規模開放経済; 金利スムージング
Stream:576	579(5, 100%): ベルの不等式; デバイスに依存しない量子鍵配送; デバイスに
Stream:577	601(5, 40%): CU特性(反社会性行動を表す児童に特徴的なもの); 非感情的な形質; 障害を行う; 反社会的行動; 精神病的形質
Stream:578	606(5, 80%): マウンテンバインビートル; キクイムシ; ロッジホールバイン; カブ

Stream:579	622(5, 20%): 知識翻訳, インブリメンテーション・リサーチ, エビデンスにもとづくメンタルヘルス; 行政エビデンスにもとづく実践
Stream:580	624(5, 100%): アルコール摂取, 適量の飲酒, アルコール消費量との関連付
Stream:581	633(5, 20%): 永久磁石, Flux-switching permanent magnet(FSPM) motors; 有誤要素解析; Flux-switching perma
Stream:582	639(5, 100%): 線形モーター, タンパク質相互作用(PP1), 短い線形モーター, リ
Stream:583	648(5, 20%): シリコナノワイヤ, 配向シリコナノワイヤ, シリコナノワイヤアレイ, 生細胞, 細胞膜
Stream:584	660(5, 100%): 子ども, 栄養状態, 途上国, 乳児および幼児, 小児保健
Stream:585	671(5, 0%): 乳がん, 乳がん発生率, ホルモン療法, ホルモン補充療法; 女性の健康イニシアチブ
Stream:586	685(5, 40%): 地中海式ダイエット, 地中海式ダイエットの順序, 横断的, 食物頻
Stream:587	696(5, 40%): アマモ(<i>Zostera marina</i>), 海草の草原, 海草藻場, 海草種, 海草
Stream:588	816(5, 0%): 光触媒活性; 可視光, 可視光照射, 高い光触媒活性; UV-vis拡散
Stream:589	62(4, 25%): ヒスタミンH-3レセプター, H-3受容体拮抗薬; 受容体のインバース
Stream:590	68(4, 25%): HIV関連神経認知障害; HIV関連神経認知; HIVに感染した; HIV感
Stream:591	53(4, 50%): 大気汚染; 交通関連の大気汚染; 大気汚染物質; 粒子状物質; 二
Stream:592	62(4, 25%): グルタミン酸受容体; NMDA受容体; イオンチャネル共役型グルタ
Stream:593	66(4, 75%): アスベルギルス <i>fumigatus</i> ; アゾール耐性; フミガーソフ分離株;
Stream:594	94(4, 25%): 経腸栄養法; 静脈栄養; 重病の, 重症患者; 集中治療室
Stream:595	95(4, 25%): Toxin-Antitoxin(TA); Toxin-Antitoxin(TA) システム; 休眠状態の
Stream:596	110(4, 75%): キラル効果的な増の理論; 3核子, 核子-核子, 核子の相互作用; 2核子
Stream:597	115(4, 25%): 筋タンパク; 抵抗運動; 筋タンパク質の合成; 骨格筋; 筋萎縮
Stream:598	116(4, 50%): アスベルギルス <i>nidulans</i> ; 二次代謝; 二次代謝産物; 糸状菌; 性的発育
Stream:599	122(4, 0%): 3臨界点の定理; 3つの解, 3つの解の存在; 境界値問題; 少なくとも
Stream:600	183(4, 0%): 遺伝子環境; 環境相互作用; ゲノムワイド関連; 症例対照; 遺伝的および環境的要因
Stream:601	195(4, 50%): グリホサート耐性; 雑草管理; 雑草種; 除草剤耐性; 雑草防除

Stream:602	● 98(4, 50%): 脳転移: 全脳放射線治療: 脳転移のある患者: 定位放射線治療: 全脳放射線療法
Stream:603	● 213(4, 50%): 溶存有機炭素: 動起・蛍光マトリックス(EEM): 並列因子分析: 蛍
Stream:604	● 218(4, 50%): テキストマイニング: CMLの構成: ウェブの可能性: Chemical Markup Language(CML): コンピュータが理解できる
Stream:605	● 219(4, 50%): 身体活動: 活動的旅行: 通学: 徒歩通学: 走行モード
Stream:606	● 223(4, 25%): アマゾンメカニカルトーク: オンライン労働市場: 多様な主題グループ: Amazonで研究: 行動研究を行って
Stream:607	● 227(4, 100%): 結晶構造: オングストロームの分解能: 活性部位: 空間群に属
Stream:608	● 238(4, 0%): 量子カスケードレーザ: 室温連続発振: しきい値電流密度: 中赤外量子カスケード: 室温
Stream:609	● 245(4, 100%): 離散時間高木-菅野ファジーモデル: 閉ループの: 高木-菅野
Stream:610	● 253(4, 25%): 多様性の違い: 分科会: ~人からなるチーム: チームレベル: グループの多様性
Stream:611	● 259(4, 25%): 情報理論的アプローチ: モデル選択: 体の大きさ: 行動生態学者
Stream:612	● 265(4, 25%): プロトン伝導度: スルホン化ポリ(アリーレンエーテルスルホン): 燃料電池: プロトン交換膜: 高いプロトン伝導性
Stream:613	● 277(4, 25%): 集光型太陽熱発電(CSP): 2段階水分解: 太陽光熱化学: 熱化学
Stream:614	● 278(4, 75%): 気候変動: 大気汚染: 公衆衛生: 身体活動: コベネフィット
Stream:615	● 279(4, 0%): 動的ネットワーク: 複雑な動的ネットワーク: 射影同期を達成する
Stream:616	● 292(4, 0%): 液体クロマトグラフィータンデム質量分析(LC-MS/MS): LC-
Stream:617	● 307(4, 50%): オープンイノベーション: 中小企業: イノベーションプロセス: 小規
Stream:618	● 313(4, 50%): 衛星細胞: 骨格筋幹細胞: 骨格筋: 幹細胞: 筋肉の再生
Stream:619	● 315(4, 50%): 分子動力学シミュレーション: カーボンナノチューブ: 水分子: 単
Stream:620	● 316(4, 25%): 原子プローブ断層撮影法(APT): 三次元アトムプローブ: レー
Stream:621	● 326(4, 50%): 加齢性黄斑変性症(AMD): 補完因子H: 加齢性黄斑変性症
Stream:622	● 328(4, 25%): 風速: Pan evaporation: 気候変動: Penman-Monteith方程式: 気
Stream:623	● 330(4, 50%): 1型糖尿病: ベータ細胞: エンテロウイルス感染: インスリン産生の確率を介して: ウイルス感染
Stream:624	● 332(4, 25%): グルカゴン様ペプチド-1(GLP-1): 味覚受容体: 腸内分泌細胞:

Stream:625	359(4, 25%): スピンドロスオーバー; スピン転移; 高スピン; 低スピン; スピン状態
Stream:626	382(4, 0%): Q熱起因菌(C. burnetii); Q熱の大流行; 酪農やギ牧場; オランダ
Stream:627	383(4, 50%): カルシウム/カルモジュリン依存性プロテインキナーゼII; カルモジュリン依存性プロテインキナーゼII; 筋小胞体(SR); リアノジン受容体; 心不
Stream:628	386(4, 50%): 双極性障害(BD); 双極性障害(BD)の患者; 実行機能; 健常対照
Stream:629	387(4, 0%): メチルエステル; 燃料特性; 酸化安定性; 脂肪酸; 動粘性率
Stream:630	375(4, 50%): 患者の安全; 手術室; 手術の安全性のチェックリスト; ヘルスケ
Stream:631	381(4, 0%): 甲状腺がん; 甲状腺乳頭がん; 分化型甲状腺がん; 甲状腺がんの発生; 甲状腺がんのリスク
Stream:632	387(4, 0%): 制度理論; 企業の社会的責任; コーポレート・ガバナンス; 調整型
Stream:633	396(4, 50%): Soil and Water Assessment Tool(SWAT); SWATモデル; 水質; Nash-Sutcliffe効率係数; 河川流域
Stream:634	397(4, 50%): 双アルギニン転座; 結草菌; ツインアルギニン転座(Tat); 折り畳
Stream:635	399(4, 75%): 系統発生解析; 核遺伝子; 分子系統発生学; 議題目; 最尤法
Stream:636	408(4, 75%): インスリン様成長因子(IGF-1); インスリン様成長因子(IGF-1)受
Stream:637	425(4, 50%): 対流雲; エアロゾル雲; 雲エアロゾル相互作用; 雲エアロゾル相互作用と降水強化; CAIPEEX(Cloud Aerosol Interaction and
Stream:638	433(4, 0%): イオン注入; 平面導波路; 屈折率; 光チャネル導波路; 光導波路
Stream:639	436(4, 0%): 身体活動; 行動変容; ~にもとづく介入; ランダム化比較試験; 身体活動の介入
Stream:640	441(4, 75%): 動脈硬化性の病変; 骨髄; 核内受容体; 髄外造血; 抗炎症
Stream:641	443(4, 50%): 末期腎臓病; 慢性腎臓病(CKD); 透析患者; 透析導入; 高齢患者
Stream:642	447(4, 75%): 多剤耐性結核; ヒト結核菌; ミコール酸; 抗結核薬; 薬剤耐性結
Stream:643	452(4, 50%): バーンバウム-サンダース分布; 実際のデータ; 最尤法; サンプル
Stream:644	466(4, 25%): ミツバチ; 社会性昆虫; 遺伝的多様性; セイヨウミツバチ(Apis
Stream:645	479(4, 50%): 屈折異常; 近視の進行; 網膜周辺部の相対的な; 周辺屈折; 等
Stream:646	481(4, 100%): 運動トレーニング; 心不全; 慢性心不全; 有酸素インターバル
Stream:647	484(4, 0%): エネルギー消費; 消費電力; 光学ネットワーク; エネルギー効率;

Stream:648	588(4, 25%): 流体応答性: 一回拍出量の変動(SVV): 中心静脈圧: 脈圧変動
Stream:649	508(4, 50%): 量子ドット: フォトニック結晶: 単一光子: 単一量子ドット: キヤビ
Stream:650	510(4, 0%): 人生の終わり: 緩和ケア: ライフケアの終わり: アドバンスケアプランニング: 事前指示
Stream:651	528(4, 25%): 労働市場: 出生時体重: 成人後の影響: 低出生体重: JEL112
Stream:652	538(4, 75%): ネットワークメタ解析: メタ分析: 治療の比較: 混合治療の比較: ランダム化比較試験
Stream:653	539(4, 50%): 妊娠糖尿病: 経口的ブドウ糖負荷試験: 妊娠中の女性: 不利な
Stream:654	541(4, 75%): Institution based view: 産業ベースとリソースベース: 新興経済国: ストラテジートライボット: 上場大企業
Stream:655	552(4, 50%): 海洋生態系: エコシステムマネジメント: 全てを含む生態系モデ
Stream:656	555(4, 50%): 最適化アルゴリズム: Teaching-learning-based optimization: ティーチング・学習にもとづく最適化: 最適化問題: 粒子群最適
Stream:657	576(4, 100%): 陸上植物: 最古の陸上植物: 維管束植物: デボン紀前期: 系統
Stream:658	597(4, 0%): 薬物の常用: 遅延割引: 自己投与: 薬物乱用: 個人差
Stream:659	600(4, 50%): 淡水方程式: 有限体積: ダムの決壊: Godunov型スキーム: ソー
Stream:660	604(4, 50%): 脂肪酸: 長鎖多価不飽和脂肪酸(LCPLUFA): ドコサヘキサエン酸(DHA): リノール酸や α -リノレン酸: リノール酸
Stream:661	612(4, 100%): 離散選択: 離散選択実験: コンジョイント分析: 患者の意向: 属
Stream:662	614(4, 100%): インド洋: 海面温度: 海面水温: エルニーニョ現象: アジアの夏季モンスーン
Stream:663	618(4, 50%): 脂肪組織: 心外膜脂肪組織: 内臓脂肪: コンピュータ断層撮影
Stream:664	620(4, 50%): 細胞壁: 細菌性細胞: 大腸菌: 細胞形状: 棒状の細菌
Stream:665	621(4, 0%): I型インターフェロン: 全身性エリテマトーデス(SLE)の治療薬: アイ
Stream:666	638(4, 75%): 気候変動: 岩礁: 体温: Mussel Mytilus: 潮間帯生物
Stream:667	643(4, 50%): 伝送断の確率(Outage probability): 回線選択: 閉形式(Closed-
Stream:668	670(4, 0%): 制御性T細胞: 移植片対宿主: 移植片対宿主病(GVHD): クリオグ
Stream:669	673(4, 0%): 可逆性後頭葉白質脳症(PRES): 可逆性脳血管縮症候群
Stream:670	678(4, 0%): Th17細胞: 実験的自己免疫性脳脊髄炎: 髄関連オープンファン受容

Stream:671

679(4, 0%); メチシリン耐性黄色ブドウ球菌 (MRSA); メチシリン耐性黄色ブド

Stream:672

686(4, 75%); 骨再生; 骨形成; 骨形成タンパク質-2(BMP-2); 再生医学; 骨欠

Stream:673

695(4, 50%); バネルデータ; 空間バネルデータ; バネルデータモデル; 空間的

Stream:674

717(4, 50%); 膵臓がん; 膵管内乳頭粘液性腫瘍; 囊胞性新生物; 膵囊胞; 膵

Stream:675

743(4, 0%); 銅触媒; H-リン酸化物を用いたN-トシルヒドラゾンのカップリング;